

**МИНИСТЕРСТВО ОБРАЗОВАНИЯ РЕСПУБЛИКИ БЕЛАРУСЬ  
БЕЛОРУССКИЙ ГОСУДАРСТВЕННЫЙ УНИВЕРСИТЕТ  
ФАКУЛЬТЕТ ПРИКЛАДНОЙ МАТЕМАТИКИ И  
ИНФОРМАТИКИ**

**Кафедра методов оптимального управления**

**ПОСТРОЕНИЕ НЕЙРОРЕГУЛЯТОРА ДЛЯ ЗАДАЧИ  
УПРАВЛЕНИЯ КВАДРОКОПТЕРОМ**

Курсовая работа

Синицын Игорь Олегович  
студента 3 курса,  
специальность «прикладная  
математика»

Научный руководитель:  
канд. физ.-мат. наук  
доцент Н.М. Дмитрук

Минск, 2020

# ОГЛАВЛЕНИЕ

	С.
<b>ОБЩАЯ ХАРАКТЕРИСТИКА РАБОТЫ . . . . .</b>	<b>3</b>
<b>ВВЕДЕНИЕ. . . . .</b>	<b>4</b>
<b>ГЛАВА 1 ОСНОВНЫЕ ПОНЯТИЯ И ОБЗОР ЛИТЕРАТУРЫ . . . . .</b>	<b>5</b>
1.1 Теория управления по прогнозирующей модели. . . . .	5
1.2 Задачи оптимального управления . . . . .	7
1.3 Численные методы решения задач оптимального управления и программные средства . . . . .	10
1.4 Выводы . . . . .	11
<b>ГЛАВА 2 МЕТОДЫ ПОСТРОЕНИЯ МРС-РЕГУЛЯТОРОВ НА ОСНОВЕ МЕТОДОВ МАШИННОГО ОБУЧЕНИЯ . . . . .</b>	<b>12</b>
2.1 Обучение с подкреплением . . . . .	12
2.2 Методы построения МРС-регуляторов на основе методов машинного обучения . . . . .	13
2.3 Выводы . . . . .	15
<b>ГЛАВА 3 ПОСТРОЕНИЕ МРС-РЕГУЛЯТОРА В ЗАДАЧЕ УПРАВЛЕНИЯ КВАДРОКОПТЕРОМ . . . . .</b>	<b>16</b>
3.1 Математическая модель квадрокоптера . . . . .	16
3.2 Построение линейного МРС . . . . .	18
3.3 Выводы . . . . .	20
<b>ЗАКЛЮЧЕНИЕ . . . . .</b>	<b>21</b>
<b>СПИСОК ИСПОЛЬЗОВАННОЙ ЛИТЕРАТУРЫ . . . . .</b>	<b>22</b>

# ОБЩАЯ ХАРАКТЕРИСТИКА РАБОТЫ

Курсовая работа, 22 с., 4 рис., 11 источников

КЛЮЧЕВЫЕ СЛОВА ОПТИМАЛЬНОЕ УПРАВЛЕНИЕ, УПРАВЛЕНИЕ С ПРОГНОЗИРУЮЩЕЙ МОДЕЛЬЮ, МРС-РЕГУЛЯТОР, КВАДРОКОПТЕР

Объектом исследования курсовой работы являются задачи стабилизации нелинейных динамических систем, на управляющие воздействия и траектории которых наложены ограничения, управление по прогнозирующей модели.

Целью работы является построение МРС-регулятора и симуляция его работы в задаче управления квадрокоптером.

Работа состоит из трех глав. В первой главе определяются основные понятия и результаты в области управления с прогнозирующей моделью. Во второй главе рассматриваются методы построения МРС-регулятора, связанные с методами машинного обучения. В третьей главе проиллюстрированы результаты построения МРС-регулятора в задаче управления квадрокоптером.

Областями применения МРС-регуляторов могут быть, как в данной курсовой работе, системы управления беспилотных летательных средств, транспортные системы, робототехника, химическая промышленность и др.

# ВВЕДЕНИЕ

Model Predictive Control (МРС) — удобный механизм решения задач оптимального управления в режиме реального времени, позволяющий эффективно решать задачи с ограничениями на траекторию или управление, что позволяет сократить потенциально потраченные на управление линейной или нелинейной системой ресурсы. Однако в задачах, которые требуют активного реагирования на быструю смену состояния, МРС может не успевать решать поставленную ему задачу оптимизации в отведенные сроки, до следующего изменения состояния системы.

В главе 1 будут рассмотрены основные принципы управления по прогнозирующей модели, базовый алгоритм МРС, задачи оптимального управления и описаны численные методы, позволяющие решить или сократить решение задач оптимального управления. В главе 2 ознакомимся с одним из способов машинного обучения — обучением с подкреплением, рассмотрим методы построения МРС-регулятора, где может быть использовано обучение с подкреплением. В третьей главе будет рассмотрена математическая модель квадрокоптера, его нелинейная динамика, будут показаны этапы построения МРС-регулятора, проведена симуляция полученной системы, и проиллюстрированы результаты.

# ГЛАВА 1

## ОСНОВНЫЕ ПОНЯТИЯ И ОБЗОР ЛИТЕРАТУРЫ

Управление по прогнозирующей модели (Model Predictive Control) — продвинутый способ управления линейными и нелинейными системами, основанный на решении задач оптимального управления с конечным горизонтом, удовлетворяя ограничениям, в режиме реального времени.

В этой главе описываются основные принципы МРС, базовый алгоритм, рассматриваются задачи оптимального управления и описываются некоторые численные методы решения ЗОУ.

### 1.1 Теория управления по прогнозирующей модели

#### 1.1.1 Прогнозирующая модель

Рассмотрим нелинейную дискретную прогнозирующую модель вида:

$$x^+ = f(x, u), \quad (1.1)$$

где функция  $f : X \times U \rightarrow X$  ставит в соответствие паре  $x \in \mathbb{X}$  и  $u \in \mathbb{U}$  некоторое состояние  $x^+ \in \mathbb{X}$ , которое является состоянием системы в последующий момент времени.

Траектория системы (1.1) может быть получена следующим образом: с заранее заданным значением  $x_0 \in \mathbb{X}$ , а также с управлением  $u(\cdot) \in \mathbb{U}^k$ ,  $k \in \mathbb{N}_\infty$ , можно определить значение траектории  $x_u(k)$  итерационно через

$$x(0) = x_0, \quad x_u(k+1) = f(x_u(k), u(k)), \quad (1.2)$$

для всех  $k \in \mathbb{N}_0$ , если  $k = \infty$ , и  $k = 0, 1, \dots, k-1$  в другом случае.

#### 1.1.2 Ограничения

Одна из основных частей МРС — ограничения. Они могут быть установлены как на управление, так и на состояние системы. Введем непустое множество  $X \subseteq \mathbb{X}$  и для каждого  $x \in \mathbb{X}$  введем непустое множество ограничений  $\mathbb{U}(x) \subseteq U$ . Множество ограничений  $\mathbb{U}(x)$  может и не зависеть от

х. За введением ограничений стоит наше желание указать, что траектория лежит во множестве  $\mathbb{X}$ , а соответствующее траектории управление лежит во множестве  $\mathbb{U}(x)$ .

### 1.1.3 Критерий качества

Пусть  $x_* \in X$  — точное решение системы (номер). Тогда функция стоимости, которая используется в нашем процессе оптимизации, в критерии качества, должна возвращать значение, основанное на расстоянии от любого  $x \in X$  до  $x_*$ . В дополнение к уже сказанному, желательно, чтобы функция стоимости также включала в себя оценку расстояний и по управлению  $u \in U$ . По вычислительным причинам намного удобнее, чтобы управление также оценивалось функцией стоимости. Также оценка управления может быть полезна с точки зрения моделирования, т.к. мы не хотим использовать управление, затратное по ресурсам или энергии. Благодаря этим причинам, мы выбираем функцию стоимости вида  $l : X \times U \longrightarrow \mathbb{R}_0^+$ .

Из всего вышесказанного, можно сделать вывод, что функция стоимости обладает следующими свойствами:

$$l(x_*, u_*) = 0, \quad (1.3)$$

$$l(x, u) > 0, \quad x \in X, \quad u \in U, \quad x \neq x_*. \quad (1.4)$$

### 1.1.4 Базовая формулировка задачи оптимального программирования с конечным горизонтом

Базовая формулировка задачи оптимального программирования с конечным горизонтом имеет вид: необходимо минимизировать критерий качества на траектории нелинейной дискретной системы с ограничениями на управление

$$J_N(x_0, u(\cdot)) = \sum_{k=0}^{N-1} l(x_u(k, x_0), u(k)) \longrightarrow \min, \quad (1.5)$$

$$x_u(k+1, x_0) = f(x_u(k, x_0), u(k)), \quad x_u(0, x_0) = x_0, \quad (1.6)$$

$$u(\cdot) \in \mathbb{U}^N(x_0). \quad (1.7)$$

### 1.1.5 Базовый алгоритм МРС

Идея схемы МРС выглядит так: в каждый момент квантования  $n$  оптимизируем предсказанное поведение системы и используем первый элемент результирующей последовательности управлений в качестве значения оценки в следующий момент квантования. Таким образом, базовый алгоритм МРС

будет иметь следующий вид:

в каждый момент квантования  $t_n$ ,  $n = 0, 1, 2, \dots$

1. вычисляем состояние  $x(n) \in X$  системы (номер),
2. принимаем  $x_0 = x(n)$  и решаем задачу оптимального управления, сформулированную в предыдущем пункте 1.1.4 (номер - номер), после чего обозначим полученную последовательность оптимальных управлений через  $u^*(\cdot) \in \mathbb{U}^N(x_0)$ ,
3. определим **оценочное значение**  $\mu_N(x(n)) = u^*(0) \in U$  и используем это значение управления в следующем периоде квантования.

## 1.2 Задачи оптимального управления

### 1.2.1 Классификация задач оптимального управления

Задачи оптимального управления классифицируются по следующим составляющим:

- Промежуток времени и управления.

Промежуток времени в задачах оптимального управления может быть как непрерывным, т.е.  $t \in \mathbb{R}$ , так и дискретным, а именно  $k \in \mathbb{Z}_+$ . В то же время, промежуток управления может быть конечным, что значит  $t \in [t_0, t_f]$ ,  $t_0 < t_f$ , и бесконечным, где  $t \in [t_0, +\infty)$ . Время окончания процесса в свою очередь также может быть подразделено на фиксированное, т.е.  $t_f$  заданно, и не фиксированное, где  $t_f$  уже заданно не будет.

- Математическая модель объекта управления.

Будем рассматривать объекты управления, которые можно описать обыкновенными дифференциальными уравнениями:

$$\dot{x} = f(x, u, t), \quad (1.8)$$

где  $x = x(t) \in \mathbb{R}^n$  — состояние системы,  $u = u(t) \in \mathbb{R}^r$  — управление.

- Классы управлений и ограничение на управление.

Классы управлений могут подразделяться на кусочно-непрерывные, измеримые, дискретные, релейные, инерционные и др. функции.

Ограничение на управление:

$$u(t) \in U(t), \quad t \in [t_0, t_f], \quad \text{где } U(t) \subseteq \mathbb{R}^n.$$

- Ограничения на траекторию.

В общем виде ограничения на траекторию имеют вид:

$$x \in \mathbb{X}(t), \quad t \in [t_0, t_f]. \quad (1.9)$$

Ограничения на траекторию могут накладываться:

- на правом конце траектории (терминальные ограничения), т.е.  $x(t_f) \in \mathbb{X}_f$ , откуда могут вытекать задачи с закрепленным, свободным и подвижным правым концом траектории;
- на левом конце траектории, т.е.  $x(t_0) \in \mathbb{X}_0$ , откуда также могут вытекать задачи с закрепленным, свободным и подвижным концом траектории;
- в промежуточные моменты времени, т.е.  $x(t_i) \in \mathbb{X}_i$ ,  $t_i \in [t_0, t_f]$ ,  $i = 1, \dots, l$ , при этом  $t_0 < t_1 < \dots < t_l < t_f$ .

Существуют и смешанные ограничения на траекторию.

- Критерий качества.

- Терминальный критерий (критерий качества типа Майера)  
 $J(u) = \varphi(x(t_f)), \quad \varphi : \mathbb{R}^n \longrightarrow \mathbb{R};$
- Интегральный критерий (критерий качества типа Лагранжа)  
 $J(u) = \int_{t_0}^{t_f} f_0(x(t), u(t), t) dt, \quad f_0 : \mathbb{R}^n \times \mathbb{R}^r \times \mathbb{R} \longrightarrow \mathbb{R};$
- Критерий качества типа Больца  
 $J(u) = \varphi(x(t_f)) + \int_{t_0}^{t_f} f_0(x(t), u(t), t) dt;$
- Критерий быстродействия  
 $J(u) = t_f - t_0 \longrightarrow \min.$

### 1.2.2 Принцип максимума для простейшей задачи оптимального управления

Рассмотрим простейшую задачу оптимального управления на промежутке времени  $[t_0, t_f]$  в классе кусочно-непрерывных управлений:



$$J(u) = \varphi(x(t_f)) \longrightarrow \min, \quad (1.10)$$

$$\dot{x} = f(x, u, t), \quad x(t_0) = x_0, \quad (1.11)$$

$$u(t) \in \mathbb{U}, \quad t \in [t_0, t_f]. \quad (1.12)$$

В задаче (номер откуда до куда) необходимо минимизировать критерий типа Майера (номер) на траектории нелинейной системы (номер) с ограничениями на управление (номер).

Принцип максимума.

Пусть  $u^0(t)$ ,  $t \in [t_0, t_f]$  — оптимальное управление,  $x^0(t)$ ,  $t \in [t_0, t_f]$  — оптимальная траектория,  $\psi^0(t)$ ,  $t \in [t_0, t_f]$  — сопряженная траектория — решение сопряженного уравнения

$$\psi' = -\frac{\partial H(x^0(t), \psi, u^0(t), t)}{\partial x}, \quad (1.13)$$

$$\psi = -\frac{\partial \varphi(x^0(t_f))}{\partial x}. \quad (1.14)$$

Тогда необходимо выполняется условие максимума гамильтониана:

$$H(x^0(t), \psi^0(t), u^0(t), t) = \max_{u \in \mathbb{U}} H(x^0(t), \psi^0(t), u, t), \quad t \in [t_0, t_f]. \quad (1.15)$$

### 1.2.3 Алгоритм решения задач оптимального управления с помощью принципа максимума

Алгоритм решения задачи оптимального управления (номер-номер) из предыдущего пункта состоит из:

- составления гамильтониана

$$H(x, u, \psi, t) = \psi' f(x, u, t), \quad (1.16)$$

где  $\psi = \psi(t) \in \mathbb{R}^n$ ;

- записи сопряженной системы и условия трансверсальности

$$\dot{\psi} = -\frac{\partial H(x, u, \psi, t)}{\partial x}, \quad (1.17)$$

$$\psi(t_f) = -\frac{\partial \varphi(x(t_f))}{\partial x}; \quad (1.18)$$

- условия максимума гамильтониана

$$H(x^0(t), \psi^0(t), u^0(t), t) = \max_{u \in \mathbb{U}} H(x^0(t), \psi^0(t), u(t), t), \quad t \in [t_0, t_f]; \quad (1.19)$$

- рассмотрения задачи максимума гамильтониана

$$H(x, \psi, u, t) \longrightarrow \max, \quad (1.20)$$

где  $x, \psi, t$  предполагаются фиксированными.

- результата решения предыдущего пункта

$$u(x, \psi, t) = \arg \max_{u \in \mathbb{U}} H(x, \psi, u, t); \quad (1.21)$$

- подстановки результата в прямую и сопряженную систему

$$\dot{x} = f(x, u(x, \psi, t), t), \quad (1.22)$$

$$\dot{\psi} = -\frac{\partial H(x, \psi, u(x, \psi, t), t)}{\partial x}, \quad (1.23)$$

$$x(t_0) = x_0, \quad \psi(t_f) = -\frac{\partial \varphi(x(t_f))}{\partial x}; \quad (1.24)$$

- решения краевой задачи принципа максимума (номер - номер)

$$x(t), \psi(t), \quad t \in [t_0, t_f], \quad (1.25)$$

$$u(t) = u(x(t), \psi(t), t), \quad t \in [t_0, t_f]. \quad (1.26)$$

### 1.3 Численные методы решения задач оптимального управления и программные средства

Рассмотрим некоторые численные методы решения задач оптимального управления:

- Численное решение задач оптимального управления с переключением методом пристрелки.

Система дифференциальных уравнений состояния объекта вместе с сопряженной системой, краевыми условиями и принципом максимума Понтрягина составляют П-систему. Интегрирование П-системы осуществляется методом Рунге-Кутты четвертого порядка. Для решения

уравнений невязок и подбора уточненных значений параметров пристрелки используется метод Ньютона.

- Редукция к задаче нелинейного программирования.

Для использования этого метода необходимо перейти от непрерывной системы к дискретной. Отрезок  $[0, T]$  разбивается на  $(k - 1)$  участков, где система  $\dot{x} = f(x, t)$ , будучи уже дискретной и имеющей вид  $x(t_i) = \eta(x(t_i), \Delta u(t_i), t_i)$ , интегрируется по схеме, относящейся к семейству методов Рунге-Кутты. Ограничения заменяются их дискретными аналогами. В результате задача оптимального управления сводится к задаче нелинейного программирования.

- Метод последовательных приближений.

В качестве начального приближения  $u_0(t)$  выбирается некоторое допустимое управление. Обычно при его выборе используются физические соображения. Метод состоит из последовательных итераций. На  $i$ -ой итерации находится решение задачи Коши  $x_i(t)$ . Затем интегрированием в обратном времени находится решение  $p_i(t)$  сопряженной системы. После чего, управление  $u_{i+1}(t)$  определяется из условия максимума, и осуществляется переход к следующей итерации. Процесс продолжается до тех пор, пока на двух последующих итерациях не будет достигнута требуемая точность.

## 1.4 Выводы

Идея МРС: оптимизация будущего поведения системы в каждый момент времени, нахождение оптимального управления и его использования в качестве значения обратной связи для следующего момента времени. Из-за простоты идеи и реализации, МРС получил большое распространение в различного рода промышленных приложениях.

## ГЛАВА 2

# МЕТОДЫ ПОСТРОЕНИЯ МРС-РЕГУЛЯТОРОВ НА ОСНОВЕ МЕТОДОВ МАШИННОГО ОБУЧЕНИЯ

В настоящей главе ознакомимся с одним из методов машинного обучения — обучением с подкреплением, опишем базовые принципы его работы. Рассмотрим методы построения МРС-регуляторов на основе методов машинного обучения.

### 2.1 Обучение с подкреплением

Рассмотрим один из способов машинного обучения — обучение с подкреплением (reinforcement learning). Суть этого метода обучения заключается в том, что наша система (агент) взаимодействует с некоторой средой, которая, в свою очередь, реагирует на действия агента, посылая сигналы подкрепления. Обучение с подкреплением является частным случаем обучения с учителем, однако главной особенностью RL является то, что учитель — это среда или ее модель.

Базовое обучение с подкреплением моделируется как процесс принятия решения Маркова:

- набор состояний среды и агента  $S$
- набор действий агента  $A$
- $P_a(s, s') = Pr(s_{t+1} = s' | s_t = s, a_t = a)$  — вероятность перехода из состояния  $s$  в состояние  $s'$  под действием агента  $a$
- $R_a(s, s')$  — награда за переход из состояния  $s$  в состояние  $s'$  под действием агента  $a$ .

Агент в каждый дискретный момент времени взаимодействует со средой. У агента имеется либо полный, либо частичный доступ к просмотру множества состояний. После действия, которое может быть произведено случайным образом, агент получает награду за выбранное им действие. Цель обучения с подкреплением связана с получением наибольшего количества наград. Выбор действия агентом может основываться не только на награде в данный момент

времени, но и на награде, которую он получит после выбора этого действия. Это говорит о том, что обучение с подкреплением хорошо вписывается в задачи с долгосрочной перспективой.

## 2.2 Методы построения МРС-регуляторов на основе методов машинного обучения

Существует некоторое количество принципов использования методов машинного обучения в МРС:

- Явный МРС
- Аппроксимация закона управления
- Использование обучаемой модели для аппроксимации динамики прогнозирующей модели
- Итерационный подход для построения терминального региона и функции из предыдущих итераций.

Рассмотрим явный МРС. Для линейных систем задача оптимизации может быть решена до начала процедуры управления. В результате решения получаем явный закон управления  $u(x)$ . Необходимо найти  $x(t)$  в момент времени  $t$  в задаче вида

$$V(x) = \min_{u(\cdot|t)} \sum_{k=t}^{t+N-1} L(x(k|t), u(k|t)) + F(x(t+N|t)), \quad (2.1)$$

$$x(k+1|t) = Ax(k|t) + Bu(k|t), \quad t \leq k \leq t+N-1, \quad (2.2)$$

$$x(t|t) = x(t), \quad t \leq k \leq t+N-1, \quad (2.3)$$

$$C_x x(k|t) \leq d_x, \quad t \leq k \leq t+N-1, \quad (2.4)$$

$$C_u u(k|t) \leq d_u, \quad t \leq k \leq t+N-1, \quad (2.5)$$

$$C^f x(t+N|t) \leq d_f, \quad (2.6)$$

где  $L(x(k|t), u(k|t))$  и  $F(x(k+N|t))$  квадратичные функция стоимости и терминальная функция соответственно, имеющие вид

$$L(x(k|t), u(k|t)) = x(k|t)^T Q x(k|t) + u(k|t)^T R u(k|t), \quad Q, R > 0, \quad (2.7)$$

$$F(x(k+N|t)) = x(k+N|t)^T P x(k+N|t). \quad (2.8)$$

Перепишем задачу (2.1) - (2.6) в матричном виде:

$$\min_U \frac{1}{2} U^T H U + x^T F U + \frac{1}{2} x^T Y x, \quad (2.9)$$

$$G U \leq W + E x(t) \quad (2.10)$$

$$\begin{aligned} Y &= 2(Q + \Omega^T \tilde{Q} \Omega), \quad H = 2(\Gamma^T \tilde{Q} \Gamma + \tilde{R}), \quad F = 2\Omega^T \tilde{Q} \Gamma, \\ \tilde{Q} &= \text{diag}(Q, \dots, Q, P) \in \mathbb{R}^{n \times (N+1)}, \quad \tilde{R} = \text{diag}(R, \dots, R) \in \mathbb{R}^{m \times N}, \\ \Omega &= \begin{bmatrix} A \\ A^2 \\ \vdots \\ A^N \end{bmatrix}, \quad \Gamma = \begin{bmatrix} B & 0 & \dots & 0 \\ AB & B & 0 & \dots & 0 \\ \dots & & & & \\ A^{N-1}B & A^{N-2}B & \dots & 0 \end{bmatrix}, \\ G &= \text{diag}(C_x, \dots, C_x) \Gamma, \quad W = [d_x, \dots, d_x]^T, \quad E = \text{diag}(C_x, \dots, C_x) \Omega. \end{aligned}$$

Сделав замену переменных вида

$z = U + H^{-1} F^T x$ , уравнения (2.9) - (2.10) примут вид

$$\min_z \frac{1}{2} z^T H z + \frac{1}{2} x^T \tilde{Y} x, \quad (2.11)$$

$$G z \leq W + S x, \quad (2.12)$$

$$\tilde{Y} = Y - F H^{-1} F^T, \quad (2.13)$$

$$S = E + G H^{-1} F^T. \quad (2.14)$$

Далее эта задача решается с помощью теории выпуклой оптимизации через условия Каруша-Куна-Такера.

Явный МРС решает задачу для всех состояний, разбивая все пространство состояний на области, в каждой из которых находится своя явная функция управления.

Алгоритм нахождения явных функций управления:

1. Взять любой  $x_0 \in \mathbb{X}$
2. Решить задачу (2.11) - (2.12) с начальным условием  $x = x_0$
3. Определить активные ограничения для оптимизационной задачи (2.11) - (2.12)
4. Вычислить критическую область по активным ограничениям и вычислить функцию управления для этой области
5. Перейти к новому  $x_0$

## 2.3 Выводы

Каждый из методов имеет свое собственное применение в определенной ситуации. Рассмотренный метод имеет одним большим недостатком — потенциально большим количеством областей, что может плохо сказаться на производительности метода. Однако для линейных задач с небольшим количеством областей явный МРС будет подходить.

## ГЛАВА 3

### ПОСТРОЕНИЕ МРС-РЕГУЛЯТОРА В ЗАДАЧЕ УПРАВЛЕНИЯ КВАДРОКОПТЕРОМ

В текущей главе рассмотрим математическую модель квадрокоптера, этапы, необходимые для формулирования решаемой МРС-регулятором задачи оптимизации, построение МРС-регулятора с помощью Model Predictive Control Toolbox, рассмотрим структуру системы, ее настройку, и проведем симуляцию полученной модели в Simulink.

#### 3.1 Математическая модель квадрокоптера

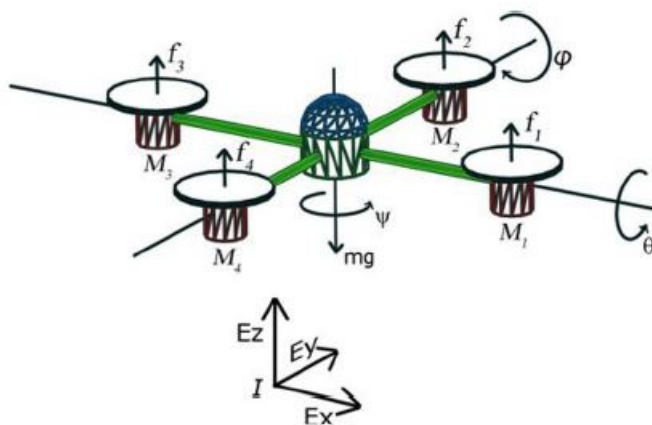


Рис. 3.1: Модель квадрокоптера

Квадрокоптер может свободно двигаться во всех трех направлениях во время своего полета. Это значит, что нам необходимо ввести шесть степеней свободы, чтобы полностью описать динамику квадрокоптера. Обозначим с помощью  $x, y, z$  позицию квадрокоптера в пространстве, где  $x$  и  $y$  отвечают за горизонтальную плоскость, а  $z$  — за вертикальную. С помощью  $\varphi, \theta, \psi$  обозначим углы вращения квадрокоптера относительно своих осей:  $\psi$  отвечает за угол поворота (вращение относительно оси  $z$ ),  $\varphi$  отвечает за крен (вращение относительно оси  $y$ ),  $\theta$  отвечает за угол наклона квадрокоптера (вращение относительно оси  $x$ ).

Каждый из моторов  $M_1, M_2, M_3, M_4$  генерирует силы тяги  $f_1, f_2, f_3, f_4$  и крутящие моменты  $\tau_1, \tau_2, \tau_3, \tau_4$  соответственно. Силы и крутящие момен-



ты могут быть изменены путем повышения или понижения напряжения на моторы. В итоге, создаются три крутящих момента  $\tau_\varphi, \tau_\theta, \tau_\psi$ :

$$\tau_\theta = (f_2 - f_4)l, \quad (3.1)$$

$$\tau_\varphi = (f_1 - f_3)l, \quad (3.2)$$

$$\tau_\psi = \sum_{i=1}^4 \tau_i, \quad (3.3)$$

где  $l$  — это расстояние от каждого из моторов до центра квадрокоптера. А результирующая сила  $u = f_1 + f_2 + f_3 + f_4$  позволяет свободно изменять позицию и ориентацию квадрокоптера в пространстве.

Пусть  $\tau = [\tau_\theta \ \tau_\varphi \ \tau_\psi]'$  будет общим вектором крутящих моментов,  $\eta = [\theta \ \varphi \ \psi]'$  будет вектором углового смещения, а  $J$  — матрица инерции. Тогда вращательная динамика квадрокоптера может быть описана следующим образом:

$$\tau = J\ddot{\eta} + J\dot{\eta} - \frac{1}{2} \frac{\partial}{\partial \eta} (\dot{\eta}' J \dot{\eta}), \quad (3.4)$$

что может быть переписано как

$$\ddot{\eta} = \tilde{\tau}, \quad (3.5)$$

где  $\tilde{\tau} = [\tilde{\tau}_\theta \ \tilde{\tau}_\varphi \ \tilde{\tau}_\psi]'$  новые входные данные. С помощью вращательных преобразований между системой  $I$  (см. Рис. 3.1) и центром масс квадрокоптера, получим систему уравнений, описывающих его динамику:

$$m\ddot{x} = -u \sin \theta - \beta \dot{x}, \quad (3.6)$$

$$m\ddot{y} = u \cos \theta \sin \varphi - \beta \dot{y}, \quad (3.7)$$

$$m\ddot{z} = u \cos \theta \cos \varphi - \beta \dot{z}, \quad (3.8)$$

$$\ddot{\theta} = \tilde{\tau}_\theta, \quad (3.9)$$

$$\ddot{\varphi} = \tilde{\tau}_\varphi, \quad (3.10)$$

$$\ddot{\psi} = \tilde{\tau}_\psi, \quad (3.11)$$

где  $\beta$  является фактором демпфирования, принимая во внимание эффекты трения. Нелинейная динамическая модель имеет двенадцать входных данных (шесть позиций и шесть скоростей) и четыре выходных данных (результирующая сила и три крутящих момента), связанных соотношениями (3.6) - (3.11).

## 3.2 Построение линейного МРС

### 3.2.1 Формулирование и построение МРС-регулятора

Для того, чтобы построить линейный МРС-регулятор для квадрокоптера, необходимо линеаризовать нелинейную динамическую систему (3.6) - (3.11) в положении равновесия. Результирующее линейное непрерывное пространство состояний нужно перевести в дискретное с периодом квантования  $T_s$

$$\xi(k+1) = A\xi(k) + Bu(k), \quad (3.12)$$

$$y(k) = C\xi(k) + Du(k), \quad (3.13)$$

где  $\xi(k) = [x \ \dot{x} \ y \ \dot{y} \ z \ \dot{z} \ \varphi \ \dot{\varphi} \ \theta \ \dot{\theta} \ \psi \ \dot{\psi}]' \in \mathbb{R}^{12}$  — вектор состояния системы,  $y(k) \in \mathbb{R}^{12}$  — вектор выходных данных, матрицы  $A, B, C, D$  — это матрицы подходящих размеров, полученных в процессе линеаризации системы (3.6) - (3.11).

Для формулирования линейного МРС используется Model Predictive Control Toolbox для Matlab, где управление получено с помощью решения оптимизационной задачи

$$\min_{\Delta u} \sum_{i=0}^{N_L-1} \left( \sum_{j=1}^{n_y} |\omega_j^y [y_j(k+i+1|k) - r_j(k+i+1)]|^2 + \sum_{j=1}^{n_u} |\omega_j^{\Delta u} \Delta u_j(k+i|k)|^2 + \rho_\epsilon \epsilon^2 \right), \quad (3.14)$$

$$u_j^{min} \leq u_j(k+i|k) \leq u_j^{max}, \quad j = 1, \dots, n_u, \quad (3.15)$$

$$y_j^{min} - \epsilon V_j^{y,min} \leq y_j(k+i+1|k) \leq y_j^{max} + \epsilon V_j^{y,max}, \quad j = 1, \dots, n_y, \quad (3.16)$$

$$\Delta u(k+h|k) = 0, \quad h = N_{Lu}, \dots, N_L, \quad \epsilon \geq 0, \quad (3.17)$$

для всех  $i = 0, \dots, N_L - 1$  в отношении последовательности входных приращений  $\{\Delta u(k|k), \dots, \Delta u(N_{Lu} - 1 + k|k)\}$  и слабой переменной  $\epsilon$ . Индекс  $"(\cdot)_j"$  обозначает  $j$ -ую компоненту вектора,  $"(k+i|k)"$  обозначает предсказанное значение в момент времени  $k+i$ , основываясь на текущем моменте времени  $k$ ,  $r(k)$  — значение эталонных выходных данных (output reference),  $V^{y,min}, V^{y,max}$  — неотрицательные векторы-константы, необходимые для релаксации выходных ограничений,  $n_y = 12$  количество выходных значений,  $n_u = 4$  количество входных значений. Линейный МРС-регулятор устанавливает значение  $u(k) = u(k-1) + \Delta u^*(k|k)$ , где  $\Delta u^*(k|k)$  является первым элементом последовательности.

### 3.2.2 Настройка MPC и проверка результатов

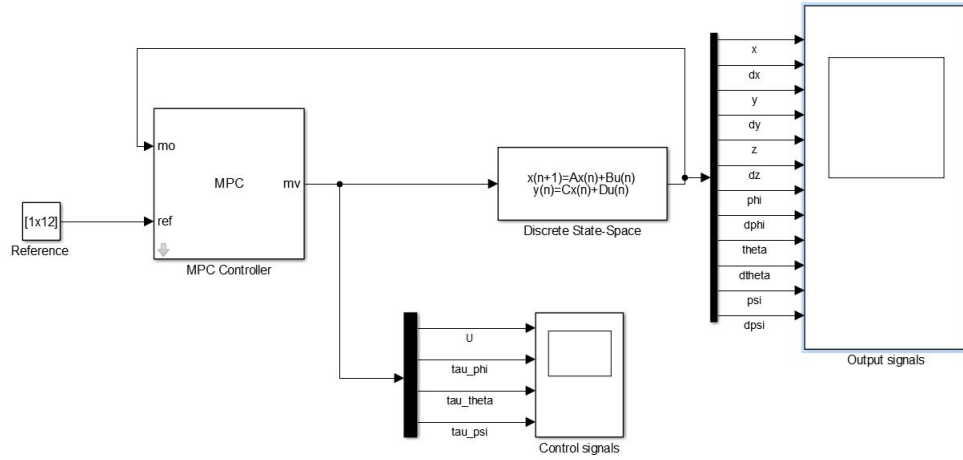


Рис. 3.2: Структура системы

Линейный MPC-регулятор настроен следующим образом. Устанавливаем  $u_j^{min} = -6N_m$ ,  $u_j^{max} = 6N_m$ ,  $j = 1, 2, 3$ ,  $u_4^{min} = -6N$ ,  $u_4^{max} = 6N$ ,  $\omega_{i,j}^{\Delta u} = 0.1 \forall j = 1, \dots, 4$ ,  $i = 0, \dots, N_L - 1$ . Для выходных переменных устанавливаем нижнюю границу  $y_5^{min} = 0$  для переменной  $z$ , верхнюю и нижнюю границу  $y_{7,9}^{max} = -y_{7,9}^{min} = \frac{\pi}{12}$  для крена и угла наклона. Веса на выходные переменные равны  $\omega_j^y = 1$ ,  $j \in \{1, 2, 3, 4\}$  для  $x, \dot{x}, y, \dot{y}$  соответственно, и  $\omega_j^y = 10$  для всех остальных. Горизонт прогноза (prediction horizon)  $N_L = 20$ , горизонт управления (control horizon)  $N_{Lu} = 3$ . Период квантования  $T_s = 0.05s$ . Оставшиеся параметры  $Vy^{min}$ ,  $Vy^{max}$ ,  $\rho_\epsilon$  устанавливаются по умолчанию с помощью Model Predictive Control Toolbox.

Симуляция нелинейной системы квадрокоптера (3.6) - (3.11) проводилась под эффектом MPC-регулятора (3.14) - (3.17) с помощью Simulink и Model Predictive Control Toolbox. Дополнительные блоки на Рис. 3.2 были добавлены для вывода результатов.

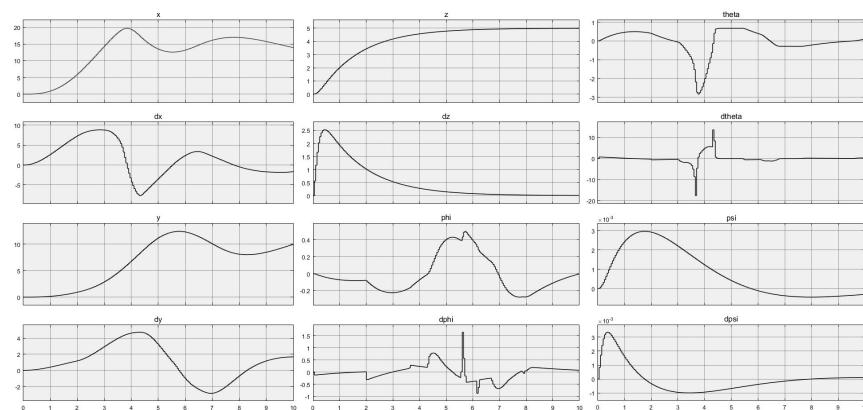


Рис. 3.3: Графики значений выходных данных

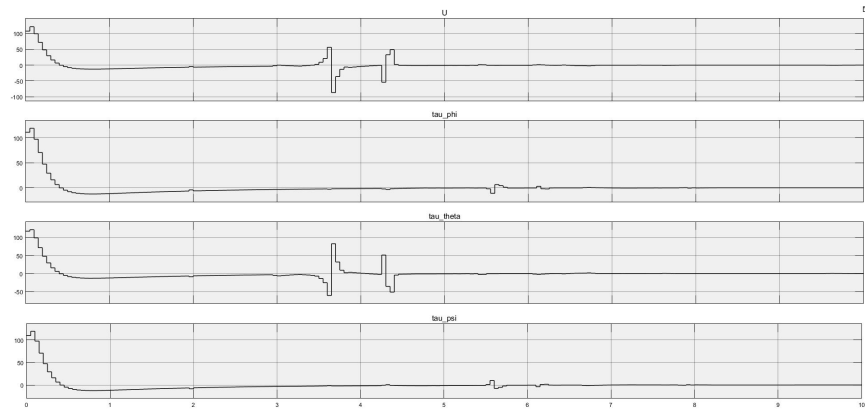


Рис. 3.4: Графики значений входных данных

На Рис. 3.3 показаны результаты симуляции, полученные за счет отслеживания выходных данных. Начальным значением состояния системы являлся нулевой вектор, а ограничения на положения  $x, y, z$  были значения, отклоняющиеся от желаемых на  $\pm 2$ . К концу симуляции необходимо было достичь определенных значений положения квадрокоптера:  $x = 15$ ,  $y = 10$ ,  $z = 5$ , что можно увидеть на Рис. 3.3. На Рис. 3.4 показаны значения результирующей силы и трех крутящих моментов. Необходимо отметить, что  $u$  в начальный момент времени не равняется нулю, что связано с задачей удерживать квадрокоптер в состоянии полета.

### 3.3 Выводы

В данной курсовой работе происходило ознакомление с базовыми принципами и алгоритмами управления по прогнозирующей модели, задачами оптимального управления и некоторыми численными методами их решения, обучением с подкреплением, методами построения МРС-регулятора на основе методов машинного обучения. Был построен МРС-регулятор для задачи управления квадрокоптером, была проведена его настройка и были освещены результаты проведения симуляции.

## ЗАКЛЮЧЕНИЕ

В данной курсовой работе рассмотрена задача построения МРС-регулятора, необходимого для управления квадрокоптером. Для выполнения этой задачи была построена замкнутая модель, состоящая из дискретной линейной системы уравнений, полученной после линеаризации нелинейной динамики квадрокоптера, МРС-регулятора и устройств вывода информации о результатах вычисления управляющей последовательности и вектора состояний системы. Модель была построена с помощью Simulink и Matlab. Была проведена симуляция полученной системы, результаты которой проиллюстрированы на графиках. Задача, поставленная перед МРС-регулятором и квадрокоптером, была выполнена с достаточно большой точностью. Результат можно уточнить за счет сужения ограничений для терминального состояния системы.

Дальнейшие исследования в этой области могут включать в себя: ускорение реакции МРС-регулятора, построение более детальной модели (построение точной модели квадрокоптера), использование улучшенных алгоритмов (например, fast МРС, где вычисления вынесены оффлайн и регулятор будет служить в этом случае как таблица ссылок на результаты вычислений).

## СПИСОК ИСПОЛЬЗОВАННОЙ ЛИТЕРАТУРЫ

- 1 Grune, L. Nonlinear model predictive control / L. Grune, J. Pannek // Springer London. - 2011
- 2 Rawlings, J.B. Model Predictive Control: Theory and Design / J.B. Rawlings, D.Q. Mayne // Madison: Nob Hill Publishing. - 2009
- 3 Islam, M. Dynamics and control of quadcopter using linear model predictive control approach / M. Islam, M. Okasha, M.M. Idres // AEROS Conference: Materials Science and Engineering. - 2017
- 4 Rodriguez, J.V. Implementation and comparison of linearization-based and backstepping controllers for quadcopters / J.V. Rodriguez // Eindhoven. - 2017
- 5 Bangura, M. Real-time Model Predictive Control for Quadrotors / M. Bangura, R. Mahony // 19th IFAC World Congress, Cape Town, South Africa. - 2014
- 6 Kurak, S. Control and Estimation of a Quadcopter Dynamical Model / S. Kurak, M. Hodzic // Periodicals of Engineering and Natural Sciences, Vol.6, No.1, March 2018. - pp. 63-75
- 7 Sebatino, F. Quadrotor control: modeling, nonlinear control design and simulation / F. Sebatino // KTH Electrical Engineering. - 2015
- 8 Neff, A. Linear and Non-Linear Control of a Quadrotor UAV / A. Neff // Clemson University. - 2007
- 9 Павловец, М.Е. Применение методов машинного обучения в системах управления по прогнозирующей модели / М.Е. Павловец, Н.М. Дмитриук // XIX Международная научная конференция по дифференциальным уравнениям "Еругинские чтения - 2019": материалы международной научной конференции. Могилев, 14-17 мая 2019 г. - С. 127-129
- 10 Тятюшин, А.И. Методы оптимизации и программная система для решения прикладных задач оптимального управления / А.И. Тятюшкин, О.В. Моржин // Иркутский государственный университет путей сообщения.
- 11 Орлов, Ю.В. Численные методы задач оптимального обобщенного управления / Ю.В. Орлов, Д.Д. Разумовский // Автомат. и телемех., 1993, выпуск 5, 44-51.